

Известия НАН Армении, Физика, т.58, №2, с.166–171 (2023)

УДК 539.12

DOI:10.54503/0002-3035-2023-58.2-166

## ВКЛАД ИНТЕРФЕРЕНЦИИ ОПЕРАТОРОВ $O_7-O_8$ ДЛЯ РАСПАДА $B \rightarrow X_s\gamma\gamma$

Г.Г. АСАТРЯН<sup>1,2\*</sup>, Г.М. АСАТРЯН<sup>2</sup>, С.А. ТУМАСЯН<sup>2</sup>

<sup>1</sup>Ереванский государственный университет, Ереван, Армения

<sup>2</sup>Национальная научная лаборатория им. А.И. Алиханяна, Ереван, Армения

\*e-mail: hrachasatryan48@gmail.com

(Поступила в редакцию 28 февраля 2023 г.)

Редкие распады  $B$ -мезонов позволяют исследовать физику вне Стандартной Модели. Для процесса  $B \rightarrow X_s\gamma\gamma$  потенциальная новая физика должна быть ясно видна не только для ширины распада, но и в дифференциальных распределениях по параметрам  $(s_1, s_2)$ , которые определены как  $s_i = (p_b - q_i)^2 / m_b^2$ ,  $(i = 1, 2)$ , где  $p_b$ ,  $q_1, q_2$  — импульсы  $b$ -кварка и двух фотонов. В работе рассчитан вклад порядка  $\alpha_s$  интерференции операторов  $O_7 - O_8$ . Мы также учитываем зависимость результатов от массы  $s$ -кварка при изменении  $m_s$  в диапазоне 400–600 МэВ. Вклад интерференции операторов  $O_7 - O_8$  в ширину распада  $B \rightarrow X_s\gamma\gamma$  в рассматриваемой нами области фазового пространства составляет 2–3%.

### 1. Введение

Редкие распады  $B$ -мезонов находятся в центре внимания физиков, поскольку они обеспечивают потенциальные тесты Стандартной Модели (СМ) для высоких энергий [1–6]. В СМ переходы нейтрального тока с изменением аромата (такие как  $b \rightarrow s\gamma(\gamma)$ ) подавлены, поскольку они появляются только на петлевом уровне. Такие процессы могут стать уникальным источником для исследования физики вне СМ в масштабе энергий порядка ТэВ. Известно, что исследования радиационного распада  $B \rightarrow X_s\gamma$  дали возможность получить нижнюю границу массы заряженного бозона Хиггса, которая составляет  $m_H > 480$  ГэВ при 95% уровне достоверности. Этот предел был получен нами путем сравнения недавних экспериментальных данных для  $B \rightarrow X_s\gamma$  с нашими теоретическими расчетами.

Несмотря на то, что ширина распада  $B \rightarrow X_s\gamma\gamma$  намного меньше, чем ширина распада  $B \rightarrow X_s\gamma$ , двухкратный радиационный распад обладает определенными преимуществами. Потенциальная новая физика для распада  $B \rightarrow X_s\gamma\gamma$  должна быть ясно видна не только для ширины распада, но и в дифференциальных распределениях по параметрам  $s_1, s_2$ .

Процесс  $B \rightarrow X_s\gamma\gamma$  представляет непосредственный интерес для нового эксперимента Belle II (SuperKEKB) в Японии [3,4], целью которого является обнаружение относительной ширины распада до  $10^{-8}$  или меньше. Это требует более точных расчетов в СМ для  $B \rightarrow X_s\gamma\gamma$ . В предыдущих работах мы уже провели

расчеты вкладов операторов  $O_7 - O_7$  и  $O_8 - O_8$  порядка  $\alpha_s$  [5, 6] (см. также ссылки, приведенные в этих работах).

Целью настоящей работы является продолжение расчетов поправок квантовой хромодинамики для распада  $B \rightarrow X_s \gamma\gamma$  порядка  $\alpha_s$ . Мы рассчитываем вклад интерференции операторов  $O_7 - O_8$  порядка  $\alpha_s$  в двойную дифференциальную ширину распада  $d\Gamma / (ds_1 ds_2)$  для инклюзивного процесса  $B \rightarrow X_s \gamma\gamma$ . В настоящей работе мы рассчитываем только виртуальную часть этого вклада, которая не включает излучение свободного глюона, часть с излучением свободного глюона достаточно сложная задача, и ей будет посвящена отдельная работа. Мы учитываем зависимость результатов от массы  $s$  кварка при изменении  $m_s$  в диапазоне 400–600 МэВ. Вклад интерференции операторов  $O_7 - O_8$  в ширину распада  $B \rightarrow X_s \gamma\gamma$  в рассматриваемой нами области фазового пространства составляет 2–3%.

## 2. Расчет диаграмм

Нами рассчитан вклад интерференции операторов  $O_7 - O_8$  в ширину распада  $B \rightarrow X_s \gamma\gamma$ . Операторы  $O_7$  и  $O_8$  являются частью эффективного гамильтониана, приведенного в формуле (1.1) в работе [1]. Они равны:

$$O_7 = e / (16\pi^2) \bar{s}_a \sigma^{\mu\nu} (m_b(\mu)R + m_s(\mu)L) b_a F_{\mu\nu}, \quad (1)$$

$$O_8 = g_s / (16\pi^2) \bar{s}_a \sigma^{\mu\nu} (m_b(\mu)R + m_s(\mu)L) b_\beta (\lambda_{\alpha\beta}^A / 2) G_{\alpha\beta}^A, \quad (2)$$

где  $F_{\mu\nu}, G_{\mu\nu}^A$  – тензоры напряженности электромагнитного и глюонного полей,  $L = (1 - \gamma_5) / 2$  и  $R = (1 + \gamma_5) / 2$  и  $\lambda_{\alpha\beta}^A$  – матрицы Гелл–Манна.

Число диаграмм Фейнмана с излучением двух фотонов и связанных с  $O_7$

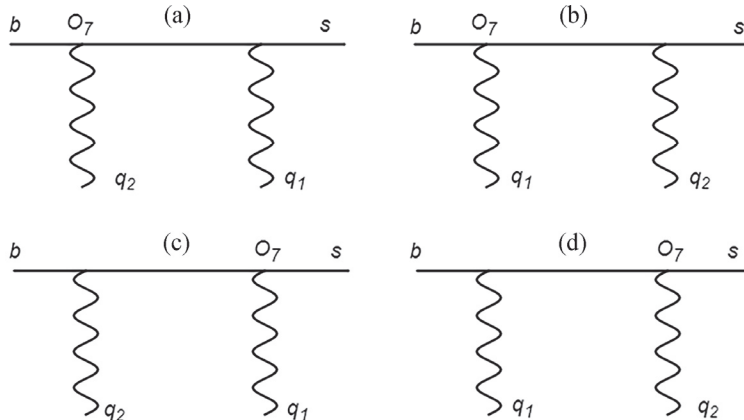


Рис.1. Диаграммы, связанные с оператором  $O_7$  и двумя фотонами: (а) первый излученный фотон имеет импульс  $q_2$ , второй –  $q_1$ , а оператор  $O_7$  находится в вершине первого фотона; (б) первый излученный фотон имеет импульс  $q_1$ , второй –  $q_2$ , а оператор  $O_7$  находится в вершине первого фотона; (с) первый излученный фотон имеет импульс  $q_2$ , второй —  $q_1$ , а оператор  $O_7$  находится в вершине второго фотона; (д) первый излученный фотон имеет импульс  $q_1$ , второй –  $q_2$ , а оператор  $O_7$  находится в вершине второго фотона.

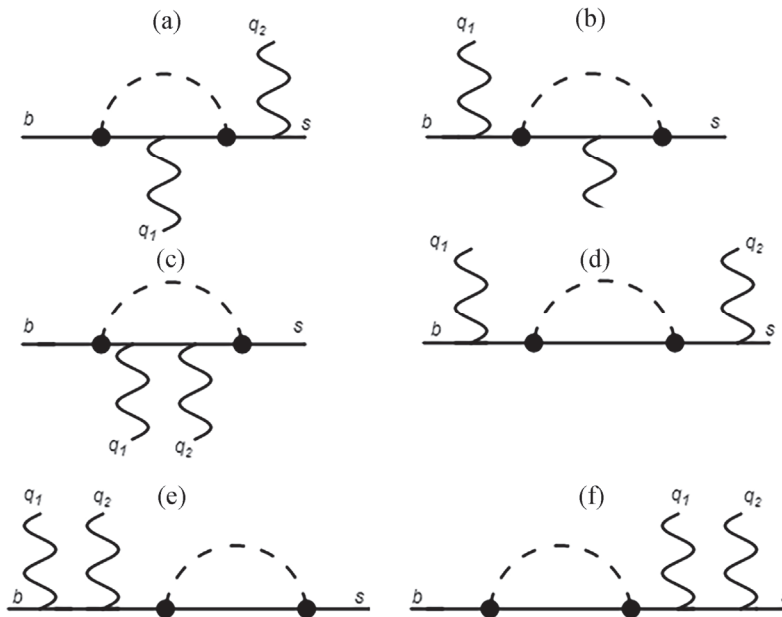


Рис.2. Диаграммы, связанные с оператором  $O_8$  и двумя фотонами: (а) один фотон излучается между глюонными вершинами, другой – после; (б) один фотон излучается перед глюонными вершинами, другой – между ними; (с) оба фотона излучаются между глюонными вершинами; (д) один фотон излучается перед глюонными вершинами, другой – после; (е) оба фотона излучаются до глюонных вершин; (ф) оба фотона излучаются после глюонных вершин.

равно 4 (рис.1), а число диаграмм Фейнмана с излучением двух фотонов и связанных с  $O_8$  равно 24 (рис.2) (для экономии места мы привели только шесть диаграмм, чтобы получить все диаграммы, нужно во-первых заменить точки на  $O_8$  или глюонные вершины, а потом сделать замену  $q_1$  на  $q_2$ ). В итоге, для интерференции операторов  $O_7 - O_8$  с излучением двух фотонов на уровне амплитуды в квадрате в общей сложности получаем 96 диаграмм Фейнмана, которые надо просчитать.

Для расчета диаграмм была использована программа Tracer [7]. Полученный результат может быть представлен в виде линейных комбинаций скалярных произведений импульсов (включая скалярное произведение импульсов на самих себя):  $p_b$  и  $q_1, q_2$  – это внешние импульсы, а  $r$  – импульс петли. Эти скалярные произведения можно представить в виде гораздо меньшего числа скалярных произведений, так называемых мастер интегралов. Таких программ сокращений много, мы использовали программу LiteRed [8]. В итоге мы получили четыре набора мастер интегралов, каждый из которых состоит из девяти мастер интегралов, с помощью которых можно представить все скалярные произведения наших диаграмм.

Первый набор включает пропагаторы:

$$\begin{aligned} P_{11} &= (p_b - r)^2 - m_s^2, & P_{12} &= (p_b - r - q_1)^2 - m_s^2, \\ P_{13} &= (p_b - r - q_1 - q_2)^2 - m_s^2, & P_{14} &= r^2. \end{aligned} \quad (3a)$$

Мастер интегралы первого набора:

$$\begin{aligned} M_1 &= \{(0,0,1,0), (0,1,0,1), (1,0,0,1), (1,0,1,0), \\ &\quad (0,1,1,1), (1,0,1,1), (1,1,0,1), (1,1,1,0), (1,1,1,1)\}. \end{aligned} \quad (3b)$$

Второй набор включает пропагаторы:

$$\begin{aligned} P_{21} &= (p_b - r)^2 - m_s^2, & P_{22} &= (p_b - r - q_2)^2 - m_s^2, \\ P_{23} &= (p_b - r - q_1 - q_2)^2 - m_s^2, & P_{24} &= r^2. \end{aligned} \quad (4a)$$

Мастер интегралы второго набора:

$$\begin{aligned} M_2 &= \{(0,0,1,0), (0,1,0,1), (1,0,0,1), (1,0,1,0), \\ &\quad (0,1,1,1), (1,0,1,1), (1,1,0,1), (1,1,1,0), (1,1,1,1)\}. \end{aligned} \quad (4b)$$

Третий набор включает пропагаторы:

$$\begin{aligned} P_{31} &= (p_b - r)^2 - m_b^2, & P_{32} &= (p_b - r - q_1)^2 - m_b^2, \\ P_{33} &= (p_b - r - q_1 - q_2)^2 - m_b^2, & P_{34} &= r^2. \end{aligned} \quad (5a)$$

Мастер интегралы третьего набора:

$$\begin{aligned} M_3 &= \{(0,0,1,0), (0,0,1,1), (0,1,0,1), (1,0,1,0), \\ &\quad (0,1,1,1), (1,0,1,1), (1,1,0,1), (1,1,1,0), (1,1,1,1)\}. \end{aligned} \quad (5b)$$

Четвертый набор включает пропагаторы:

$$\begin{aligned} P_{41} &= (p_b - r)^2 - m_b^2, & P_{42} &= (p_b - r - q_2)^2 - m_b^2, \\ P_{43} &= (p_b - r - q_1 - q_2)^2 - m_b^2, & P_{44} &= r^2. \end{aligned} \quad (6a)$$

Мастер интегралы четвертого набора:

$$\begin{aligned} M_4 &= \{(0,0,1,0), (0,0,1,1), (0,1,0,1), (1,0,1,0), \\ &\quad (0,1,1,1), (1,0,1,1), (1,1,0,1), (1,1,1,0), (1,1,1,1)\}. \end{aligned} \quad (6b)$$

Видно, что  $M_1$  и  $M_2$  получаются друг из друга, если изменить  $q_1$  на  $q_2$ . То же самое верно для  $M_3$  и  $M_4$ .

### 3. Расчет интегралов

Для расчета мастер интегралов мы использовали программу SecDec [9]. Кинематически область  $(s_1, s_2)$ , доступная для трехчастичного распада  $b \rightarrow s\gamma\gamma$ , определяется [5] как

$$s_1 > m_s^2 / m_b^2, \quad s_2 > m_s^2 / m_b^2, \quad 1 - s_1 - s_2 + m_s^2 / m_b^2 > 0, \quad s_1 s_2 > m_s^2 / m_b^2. \quad (7)$$

Нужно наложить некоторые кинематические ограничения. Во-первых, для наблюдения фотонов переменные  $s_1, s_2$  должны быть меньше единицы. Кроме того, для обнаружения двух различных фотонов кинематически требуется, чтобы их инвариантная масса была отлична от нуля. Все эти требования можно удовлетворить, используя один физический параметр  $c$  ( $c > m_s^2 / m_b^2$ ), потребовав, чтобы

Табл.1. Значения относительной ширины распада  $B \rightarrow X_s \gamma\gamma$ , когда учитывается вклад  $O_7 - O_7$  (NLL) и  $O_2 - O_7$  (LL) (столбец 2) и когда учитывается вклад  $O_7 - O_8$  (столбец 3)

$m_s / m_b$	$O_7 - O_7, O_2 - O_7$	$O_7 - O_8$	Ratio
400/4800	$7.9 \times 10^{-8}$	$-1.58 \times 10^{-9}$	-0.021
500/4800	$7.6 \times 10^{-8}$	$-1.81 \times 10^{-9}$	-0.024
600/4800	$7.5 \times 10^{-8}$	$-2.11 \times 10^{-9}$	-0.028

$$1 - s_1 - s_2 > c, (s_1 - c)(s_2 - c) > c. \quad (8)$$

Двойной дифференциальный спектр распада  $B \rightarrow X_s \gamma\gamma$  дается формулой:

$$\frac{d\Gamma}{ds_1 ds_2} = \frac{m_b}{256\pi^3} |M|^2, \quad (9)$$

где  $M$  – амплитуда распада. Чтобы получить относительную ширину распада для  $B \rightarrow X_s \gamma\gamma$  в зависимости от  $c$ , мы интегрируем двойной дифференциальный спектр в соответствующем диапазоне по  $s_1$  и  $s_2$ , делим на ширину полулептонного распада и умножаем на экспериментальное значение относительной ширины полулептонного распада, равное 0.1049 [5] ( $\hat{m}_c = m_c / m_b = 0.29$ ):

$$\Gamma_{sl} = m_b^5 G_F^2 |V_{cb}|^2 g(\hat{m}_c) / (192\pi^3), \quad g(x) = 1 - 8x^2 + 8x^6 - x^8 - 24x^4 \log(x), \quad (10)$$

где  $V_{cb} = 0.04$  – элемент матрицы Кобаяши–Маскава и  $G_F = 1.166 \times 10^{-5}$  ГэВ $^{-2}$  – константа Ферми слабого взаимодействия.

Мы провели расчеты для  $\mu = m_b$ ,  $c = 1/50$  и разных значений  $m_s / m_b$ . Результаты приведены в табл.1.

Таким образом, можно сделать вывод, что вклад интерференции операторов  $O_7 - O_8$  в относительную ширину распада находится на уровне 2–3%.

На рис.3 приведен график зависимости  $d\Gamma / (ds_1 ds_2)$  от  $s_1$  для  $s_2 = 1/5$ ,

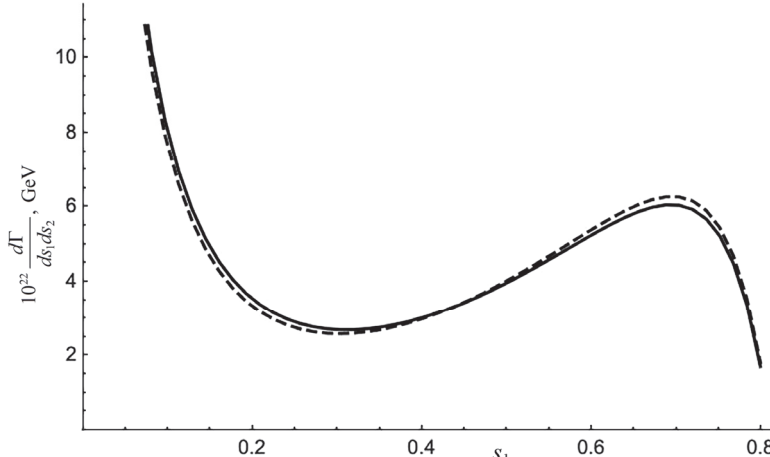


Рис.3. График зависимости  $d\Gamma / (ds_1 ds_2)$  от  $s_1$  для  $s_2 = 1/5$ ,  $\mu = m_b$  и  $m_s / m_b = 500 / 4800$ .

$\mu = m_b$ ,  $m_s / m_b = 500 / 4800$ . Сплошная линия – это сумма вкладов  $O_7 - O_7$  и  $O_7 - O_8$ , пунктирная линия – только  $O_7 - O_7$ . Здесь также видно, что вклад  $O_7 - O_8$  достаточно мал.

#### 4. Заключение

В работе был рассчитан вклад порядка  $\alpha_s$  интерференции операторов  $O_7 - O_8$ . Показано, что по сравнению с вкладом операторов  $O_7 - O_7$  вклад операторов  $O_7 - O_8$  достаточно мал для разных значений  $m_s / m_b$ .

Работа была выполнена благодаря финансированию комитета по науке Армении: грант 21AG-1C084. Работа С.А. Тумасяна была также поддержана Региональной докторской программой по теоретической и экспериментальной физике элементарных частиц, спонсируемой Volkswagen Stiftung.

Г.М. Асатрян благодарен С. Greub-у за многочисленные обсуждения распадов  $B \rightarrow X_s \gamma\gamma$ .

#### ЛИТЕРАТУРА

1. C. Greub, T. Hurth, D. Wyler. Phys. Rev. D, **54**, 3350 (1996).
2. A. Hovhannisyan. Изв. НАН Армении, Физика, **37**, 206 (2002).
3. I. Heredia de la Cruz. MWPF 2015, e-Print: 1609.01806. (2016).
4. T. Aushev et al. e-Print: 1002.5012 (2010).
5. H.M. Asatrian, C. Greub, A. Kokulu. Phys. Rev. D, **95**, 053006 (2017).
6. H.M. Asatrian, C. Greub, A. Kokulu. Phys. Rev. D, **93**, 01403 (2016).
7. M. Jamin, M. Lautenbacher. Comp. Phys. Commun., **74**, 265 (1993).
8. R. Lee. J. Phys. Conf. Ser., **523**, 012059 (2014).
9. J. Carter, G. Heinrich. Comp. Phys. Commun., **182**, 1566 (2011).

#### CONTRIBUTION OF THE INTERFERENCE OF THE $O_7 - O_8$ FOR THE DECAY $B \rightarrow X_s \gamma\gamma$

H.H. ASATRYAN, H.M. ASATRIAN, S.A. TUMASYAN

Rare decays of B-mesons allow investigations of physics outside of the SM. For  $B \rightarrow X_s \gamma\gamma$  potential new physics should be clearly visible not only for the width of the decay, but also in the differential distributions with respect to the parameters  $(s_1, s_2)$ , defined as  $s_i = (p_b - q_i)^2 / m_b^2$ , ( $i = 1, 2$ ), where  $p_b$ ,  $q_1, q_2$  are the momenta of the b-quark and the two photons. In the paper the contribution of order  $\alpha_s$  of the interference of the operators  $O_7 - O_8$  was calculated. We also consider the dependency of the results from the mass of the s-quark by changing  $m_s$  in the range 400–600 MeV. The contribution of the interference of the operators  $O_7 - O_8$  in the width of the decay  $B \rightarrow X_s \gamma\gamma$  in the regions of the phase space considered by us is equal to 2–3%.